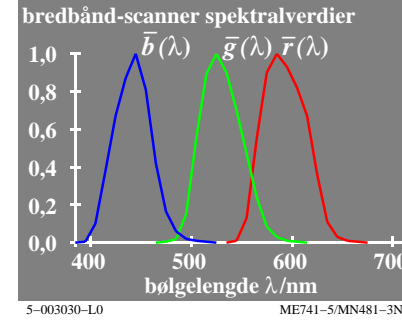
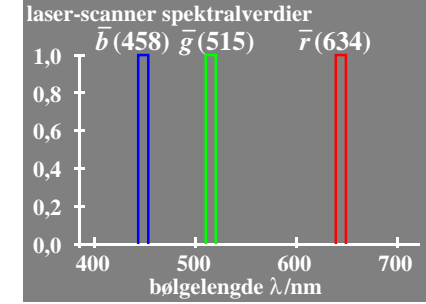
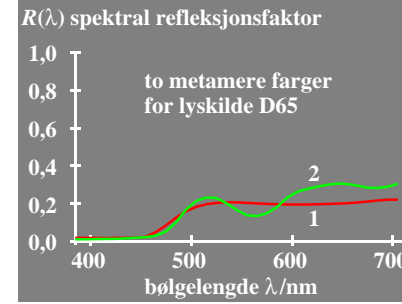
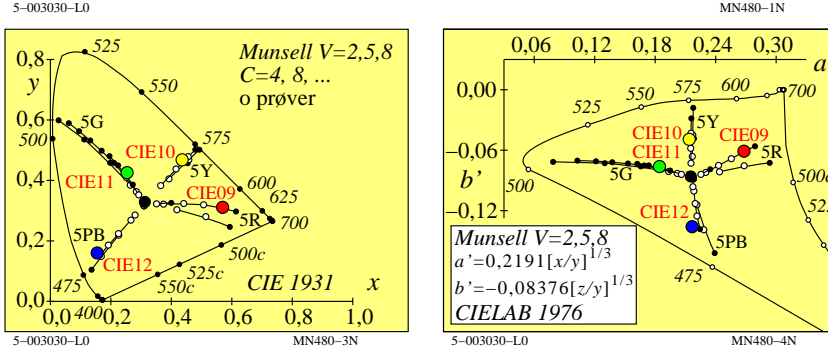


farge-egenskaper til den lavere og høyere fargemetrikken	type fargeblanding	
	dikromatisk	trikromatisk
<b>lavere farge- eller valensmetrikk</b>	(for $Y_- \geq B_-$ )	(for $R_- \geq G_- \geq B_-$ )
hvitverdi	$B_-$	$B_-$
sortverdi	$100 - Y_-$	$100 - R_-$
kulørverdi	$Y_- - B_-$	$R_- - B_-$
<b>høyere farge- eller fornemmelsesmetrikk</b>	(for $Y^*_- \geq B^*_-$ )	(for $R^*_- \geq G^*_- \geq B^*_-$ )
hvithet	$B^*_-$	$B^*_-$
sorthet	$100 - Y^*_-$	$100 - R^*_-$
kulørthet	$Y^*_- - B^*_-$	$R^*_- - B^*_-$



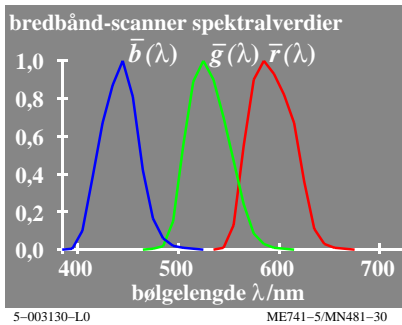
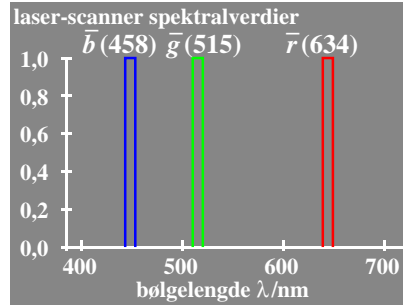
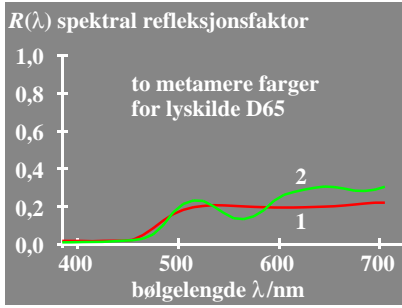
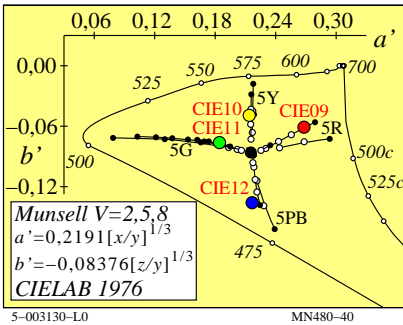
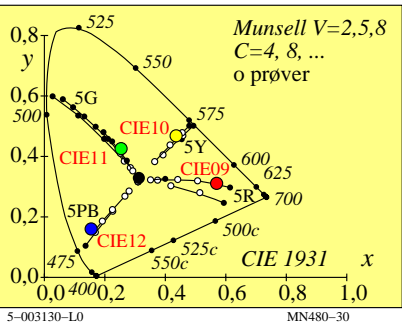
Fargegjengivelses-indeks $R_i$ av de to metamere BAM-scanner prøvefarger		
scanner	TC farge gjengi- indeks	fargedif- vels indeks
bredbånd	1	82
	2	84
laser	1	63
	2	69
ideell	1	100
	2	100

**D65, fargejustering med hvitt papir**

lavere fargemetrikk (fargedata: lineær relasjon til CIE 1931 data)		
lineære fargebetegnelse	navn og sammenheng med CIE tristimulus- eller kromatisitetsverdier	merknader
tristimulus-verdier	$X, Y, Z$	
kulørverdi	lineært kulørverdi diagram (A, B)	$n=D65$
rød-grønn	$A = [X/Y - X_n/Y_n] Y = [a - a_n] Y$ $= [x/y - x_n/y_n] Y$	(omfelt)
gul-blå	$B = -0,4 [Z/Y - Z_n/Y_n] Y = [b - b_n] Y$ $= -0,4 [z/y - z_n/y_n] Y$	
radiell	$C_{AB} = [A^2 + B^2]^{1/2}$	
kromatisitet	lineært kromatisitetsdiagram (a, b)	sammenlign med li- near tappe-eksitasjon
rød-grønn	$a = X/Y = x/y$	$L/(L+M) = P/(P+D)$
gul-blå	$b = -0,4 [Z/Y] = -0,4 [z/y]$	$S/(L+M) = T/(P+D)$
radiell	$c_{ab} = [(a - a_n)^2 + (b - b_n)^2]^{1/2}$	

høyere fargemetrikk (fargedata: ikke-lineær relasjon til CIE 1931 data)		
ikke-lineære størrelser	navn og sammenheng med tristimulus- eller kromatisitetsverdier	merknader
lyshet	$L^* = 116 (Y/100)^{1/3} - 16 \quad (Y > 0,8)$ tilnærming: $L^* = 100 (Y/100)^{1/2,4} \quad (Y > 0)$	CIELAB 1976
kulørthet	ikke-lineær transformasjon av kulørverdier A, B	
rød-grønn	$a^* = 500 [(X/X_n)^{1/3} - (Y/Y_n)^{1/3}]$ $= 500 (a' - a'_n) Y^{1/3}$	CIELAB 1976
gul-blå	$b^* = 200 [(Y/Y_n)^{1/3} - (Z/Z_n)^{1/3}]$ $= 500 (b' - b'_n) Y^{1/3}$	CIELAB 1976
radiell	$C^*_{ab} = [a^{*2} + b^{*2}]^{1/2}$	$n=D65$ (omfelt)
kromatisitet	ikke-lineær transformasjon av kromatisiteter x/y, z/y	sammenlign med log tappe-eksitasjon
rød-grønn	$a' = (1/X_n)^{1/3} (x/y)^{1/3}$ $= 0,2191 (x/y)^{1/3}$ for D65	$\log[L / (L+M)]$
gul-blå	$b' = -0,4 (1/Z_n)^{1/3} (z/y)^{1/3}$ $= -0,08376 (z/y)^{1/3}$ for D65	$= \log[P / (P+D)]$
radiell	$c'_{ab} = [(a' - a'_n)^2 + (b' - b'_n)^2]^{1/2}$	$= \log[S / (L+M)]$ $= \log[T / (P+D)]$

farge-egenskaper til den lavere og høyere fargemetrikk		type fargeblanding	
		dikromatisk	trikromatisk
<b>lavere farge- eller valensmetrikk</b>		(for $Y_d \geq B_d$ )	(for $R_d \geq G_d \geq B_d$ )
hvitverdi	$W$	$B_d$	$B_d$
sortverdi	$N$	$100 - Y_d$	$100 - R_d$
kulørverdi	$C$	$Y_d - B_d$	$R_d - B_d$
<b>høyere farge- eller fornemmelsesmetrikk</b>		(for $Y^*_d \geq B^*_d$ )	(for $R^*_d \geq G^*_d \geq B^*_d$ )
hvithet	$W^*$	$B^*_d$	$B^*_d$
sorthet	$N^*$	$100 - Y^*_d$	$100 - R^*_d$
kulørthet	$C^*$	$Y^*_d - B^*_d$	$R^*_d - B^*_d$



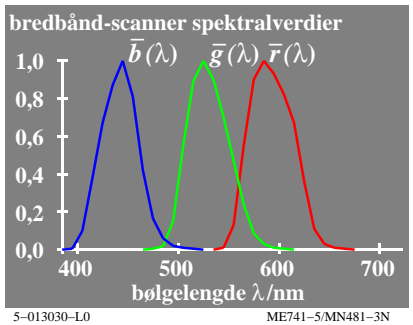
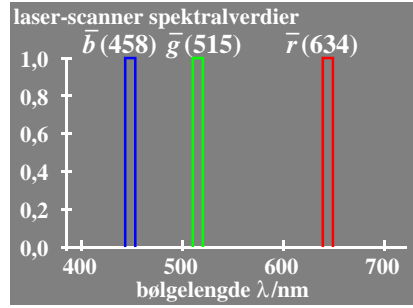
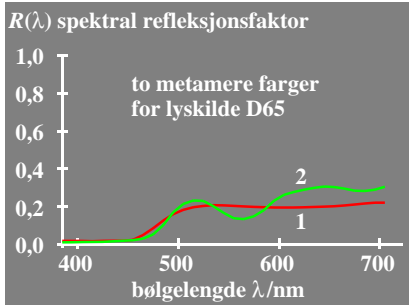
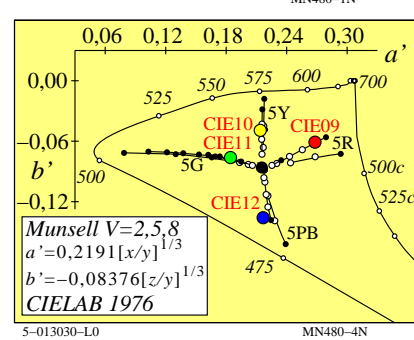
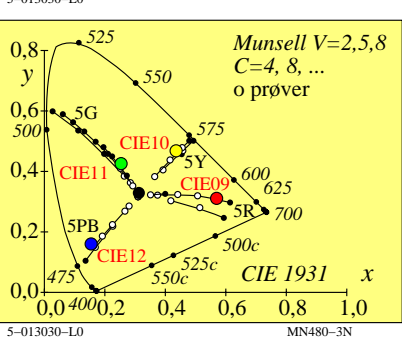
Fargegjengivelses-indeks $R_i$ av de to metamere BAM-scanner prøvefarger		
scanner	TC farge gjengi-indeks	fargedif-felses indeks feranse
bredbånd	1	82
	2	84
laser	1	63
	2	69
ideell	1	100
	2	100

D65, fargejustering med hvitt papir

lavere fargemetrikk (fargedata: lineær relasjon til CIE 1931 data)		
lineære fargebetegnelser	navn og sammenheng med CIE tristimulus- eller kromatisitetsverdier	merknader
tristimulus-verdier	$X, Y, Z$	
kulørverdi	lineært kulørverdi diagram (A, B)	$n=D65$
rød-grønn	$A = [X/Y - X_n/Y_n] Y = [a - a_n] Y$ $= [x/y - x_n/y_n] Y$	(omfelt)
gul-blå	$B = -0,4 [Z/Y - Z_n/Y_n] Y = [b - b_n] Y$ $= -0,4 [z/y - z_n/y_n] Y$	
radiell	$C_{AB} = [A^2 + B^2]^{1/2}$	
kromatisitet	lineært kromatisitetsdiagram (a, b)	sammenlign med lineær tappe-eksitasjon
rød-grønn	$a = X/Y = x/y$	$L/(L+M) = P/(P+D)$
gul-blå	$b = -0,4 [Z/Y] = -0,4 [z/y]$	$S/(L+M) = T/(P+D)$
radiell	$c_{ab} = [(a - a_n)^2 + (b - b_n)^2]^{1/2}$	

høyere fargemetrikk (fargedata: ikke-lineær relasjon til CIE 1931 data)		
ikke-lineære størrelser	navn og sammenheng med tristimulus- eller kromatisitetsverdier	merknader
lyshet	$L^* = 116 (Y/100)^{1/3} - 16$ ( $Y > 0,8$ ) tilnærming: $L^* = 100 (Y/100)^{1/2,4}$ ( $Y > 0$ )	CIELAB 1976
kulørthet	ikke-lineær transformasjon av kulørverdier A, B	
rød-grønn	$a^* = 500 [(X/X_n)^{1/3} - (Y/Y_n)^{1/3}]$ $= 500 (a' - a'_n) Y^{1/3}$	CIELAB 1976
gul-blå	$b^* = 200 [(Y/Y_n)^{1/3} - (Z/Z_n)^{1/3}]$ $= 500 (b' - b'_n) Y^{1/3}$	CIELAB 1976
radiell	$C^*_{ab} = [a^{*2} + b^{*2}]^{1/2}$	$n=D65$ (omfelt)
kromatisitet	ikke-lineær transformasjon av kromatisiteter x/y, z/y	sammenlign med log tappe-eksitasjon
rød-grønn	$a' = (1/X_n)^{1/3} (x/y)^{1/3}$ $= 0,2191 (x/y)^{1/3}$ for D65	$\log[L/(L+M)]$
gul-blå	$b' = -0,4 (1/Z_n)^{1/3} (z/y)^{1/3}$ $= -0,08376 (z/y)^{1/3}$ for D65	$= \log[P/(P+D)]$
radiell	$c'_{ab} = [(a' - a'_n)^2 + (b' - b'_n)^2]^{1/2}$	$\log[S/(L+M)]$ $= \log[T/(P+D)]$

farge-egenskaper til den lavere og høyere fargemetrikk		type fargeblanding	
		dikromatisk	trikromatisk
<b>lavere farge- eller valensmetrikk</b>		(for $Y_- \geq B_-$ )	(for $R_- \geq G_- \geq B_-$ )
hvitverdi	$W$	$B_-$	$B_-$
sortverdi	$N$	$100 - Y_-$	$100 - R_-$
kulørverdi	$C$	$Y_- - B_-$	$R_- - B_-$
<b>høyere farge- eller fornemmelsesmetrikk</b>		(for $Y^*_- \geq B^*_-$ )	(for $R^*_- \geq G^*_- \geq B^*_-$ )
hvitthet	$W^*$	$B^*_-$	$B^*_-$
sortthet	$N^*$	$100 - Y^*_-$	$100 - R^*_-$
kulørthet	$C^*$	$Y^*_- - B^*_-$	$R^*_- - B^*_-$



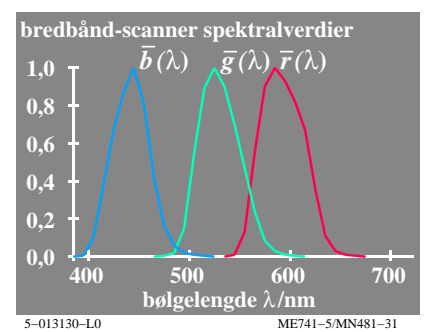
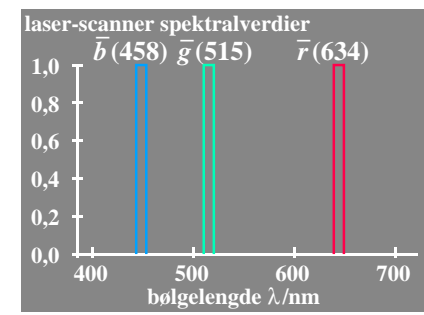
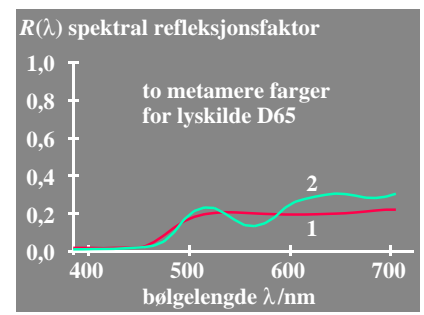
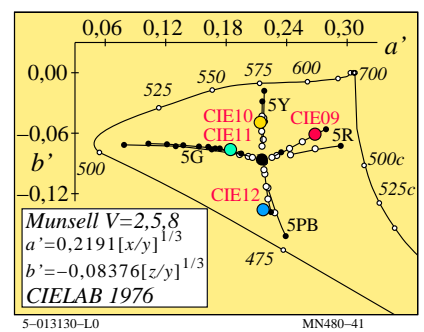
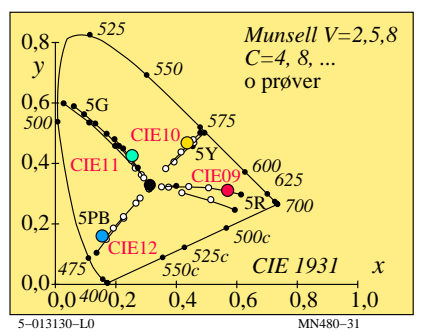
Fargegjengivelses-indeks $R_i$ av de to metamere BAM-scanner prøvefarger			
scanner	TC farge gjengi-	fargedif-	feranse
	indeks	feranse	
bredbånd	1	82	3
	2	84	
laser	1	63	10
	2	69	
ideell	1	100	0
	2	100	

D65, fargejustering med hvitt papir

lavere fargemetrikk (fargedata: lineær relasjon til CIE 1931 data)		
lineære fargebetegnelser	navn og sammenheng med CIE tristimulus- eller kromatisitetsverdier	merknader
tristimulus-verdier	$X, Y, Z$	
kulørverdi	lineært kulørverdi diagram (A, B)	$n=D65$
rød-grønn	$A = [ X/Y - X_n/Y_n ] Y = [ a - a_n ] Y$ $= [ x/y - x_n/y_n ] Y$	(omfelt)
gul-blå	$B = -0,4 [ Z/Y - Z_n/Y_n ] Y = [ b - b_n ] Y$ $= -0,4 [ z/y - z_n/y_n ] Y$	
radiell	$C_{AB} = [ A^2 + B^2 ]^{1/2}$	
kromatisitet	lineært kromatisitetsdiagram (a, b)	sammenlign med li-
rød-grønn	$a = X/Y = x/y$	near tappe-eksitasjon
gul-blå	$b = -0,4 [ Z/Y ] = -0,4 [ z/y ]$	$L/(L+M) = P/(P+D)$
radiell	$c_{ab} = [ (a - a_n)^2 + (b - b_n)^2 ]^{1/2}$	$S/(L+M) = T/(P+D)$

høyere fargemetrikk (fargedata: ikke-lineær relasjon til CIE 1931 data)		
ikke-lineære størrelser	navn og sammenheng med tristimulus- eller kromatisitetsverdier	merknader
lyshet	$L^* = 116 ( Y/100 )^{1/3} - 16 \quad (Y > 0,8)$ tilnærming: $L^* = 100 (Y/100)^{1/2,4} \quad (Y > 0)$	CIELAB 1976
kulørthet	ikke-lineær transformasjon av kulørverdier A, B	
rød-grønn	$a^* = 500 [ ( X/X_n )^{1/3} - ( Y/Y_n )^{1/3} ]$ $= 500 ( a' - a'_n ) Y^{1/3}$	CIELAB 1976
gul-blå	$b^* = 200 [ ( Y/Y_n )^{1/3} - ( Z/Z_n )^{1/3} ]$ $= 500 ( b' - b'_n ) Y^{1/3}$	CIELAB 1976
radiell	$C^*_{ab} = [ a^{*2} + b^{*2} ]^{1/2}$	$n=D65$ (omfelt)
kromatisitet	ikke-lineær transformasjon av kromatisiteter x/y, z/y	sammenlign med log tappe-eksitasjon
rød-grønn	$a' = ( 1/X_n )^{1/3} ( x/y )^{1/3}$ $= 0,2191 ( x/y )^{1/3}$ for D65	$\log[L / (L+M)]$
gul-blå	$b' = -0,4 ( 1/Z_n )^{1/3} ( z/y )^{1/3}$ $= -0,08376 ( z/y )^{1/3}$ for D65	$= \log[P / (P+D)]$
radiell	$c'_{ab} = [ ( a' - a'_n )^2 + ( b' - b'_n )^2 ]^{1/2}$	$= \log[S / (L+M)]$ $= \log[T / (P+D)]$

farge-egenskaper til den lavere og høyere fargemetrikk		type fargeblanding	
		dikromatisk	trikromatisk
lavere farge- eller valensmetrikk	(for $Y_e \gg B_e$ )	(for $R_e \gg G_e \gg B_e$ )	
hvitverdi	$W$	$B_e$	
sortverdi	$N$	$100 - R_e$	
kulørverdi	$C$	$Y_e - B_e$	$R_e - B_e$
høyere farge- eller fornemmelsesmetrikk	(for $Y^*_e \gg B^*_e$ )	(for $R^*_e \gg G^*_e \gg B^*_e$ )	
hvitthet	$W^*$	$B^*_e$	
sortthet	$N^*$	$100 - Y^*_e$	$100 - R^*_e$
kulørthet	$C^*$	$Y^*_e - B^*_e$	$R^*_e - B^*_e$



Fargegjengivelses-indeks $R_i$ av de to metamere BAM-scanner prøvefarger		
scanner	TC farge gjengi- indeks	fargedif- felses feranse
bredbånd	1	82
	2	84
laser	1	63
	2	69
ideell	1	100
	2	100

**D65, fargejustering med hvitt papir**

lavere fargemetrikk (fargedata: lineær relasjon til CIE 1931 data)		
lineære fargebetegnelser	navn og sammenheng med CIE tristimulus- eller kromatisitetsverdier	merknader
tristimulus-verdier	$X, Y, Z$	
kulørverdi	lineært kulørverdi diagram (A, B)	$n=D65$
rød-grønn	$A = [ X/Y - X_n/Y_n ] Y = [ a - a_n ] Y$ $= [ x/y - x_n/y_n ] Y$	(omfelt)
gul-blå	$B = -0,4 [ Z/Y - Z_n/Y_n ] Y = [ b - b_n ] Y$ $= -0,4 [ z/y - z_n/y_n ] Y$	
radiell	$C_{AB} = [ A^2 + B^2 ]^{1/2}$	
kromatisitet	lineært kromatisitetsdiagram (a, b)	sammenlign med li- near tappe-eksitasjon
rød-grønn	$a = X/Y = x/y$	$L/(L+M) = P/(P+D)$
gul-blå	$b = -0,4 [ Z/Y ] = -0,4 [ z/y ]$	$S/(L+M) = T/(P+D)$
radiell	$c_{ab} = [ (a - a_n)^2 + (b - b_n)^2 ]^{1/2}$	

høyere fargemetrikk (fargedata: ikke-lineær relasjon til CIE 1931 data)		
ikke-lineære størrelser	navn og sammenheng med tristimulus- eller kromatisitetsverdier	merknader
lyshet	$L^* = 116 ( Y/100 )^{1/3} - 16 \quad (Y > 0,8)$ tilnærming: $L^* = 100 (Y/100)^{1/2,4} \quad (Y > 0)$	CIELAB 1976
kulørthet	ikke-lineær transformasjon av kulørverdier A, B	
rød-grønn	$a^* = 500 [ ( X/X_n )^{1/3} - ( Y/Y_n )^{1/3} ]$ $= 500 ( a' - a'_n ) Y^{1/3}$	CIELAB 1976
gul-blå	$b^* = 200 [ ( Y/Y_n )^{1/3} - ( Z/Z_n )^{1/3} ]$ $= 500 ( b' - b'_n ) Y^{1/3}$	CIELAB 1976
radiell	$C^*_{ab} = [ a^{*2} + b^{*2} ]^{1/2}$	$n=D65$ (omfelt)
kromatisitet	ikke-lineær transformasjon av kromatisiteter x/y, z/y	sammenlign med log tappe-eksitasjon
rød-grønn	$a' = ( 1 / X_n )^{1/3} ( x/y )^{1/3}$ $= 0,2191 ( x/y )^{1/3}$ for D65	$\log[L / (L+M)]$
gul-blå	$b' = -0,4 ( 1 / Z_n )^{1/3} ( z/y )^{1/3}$ $= -0,08376 ( z/y )^{1/3}$ for D65	$= \log[P / (P+D)]$
radiell	$c'_{ab} = [ ( a' - a'_n )^2 + ( b' - b'_n )^2 ]^{1/2}$	$\log[S / (L+M)]$ $= \log[T / (P+D)]$